

مراحل تکوین تخمک و کیسه رویانی در *Consolida orientalis* Schrödinger از تیره آلاله‌ایان

عبدالکریم چهرگانی راد^{*} ، فربیا محسن‌زاده و سولماز اخطاری

دریافت: ۱۳۹۲/۱۱/۱۰ / پذیرش: ۱۳۹۳/۱۲/۱

گروه زیست‌شناسی، دانشکده علوم، دانشگاه بولعلی‌سینا، همدان

*مسئول مکاتبات: chehregani@basu.ac.ir

چکیده. ساختار گل و رویان‌شناسی در تیره آلاله‌ایان موضوع مطالعات مختلف بوده است، اما پراکنش مطالعات تکوینی در این تیره ناموزون است؛ به طوری که مطالعه برخی از جنس‌ها به طور محدود انجام شده یا اصلاً مطالعه نشده‌اند. در این پژوهش مراحل و چگونگی تکوین تخمک در گیاه *Consolida orientalis* بررسی شد. گل‌ها و غنچه‌ها در مراحل مختلف نمو برداشت، تثیت و نگهداری شد. سپس با میکروتوم برش گیری و رنگ‌آمیزی با هماتوکسیلین و انوزین انجام گرفت. لام‌های تهیه شده از مراحل مختلف تکوینی با دقیق با استفاده از میکروسکوپ نوری بررسی شد. براساس نتایج حاصل از این بررسی، در گونه تحت مطالعه، تخمک از نوع دو-پوششی، نسبتاً پرخورش و واژگون است. پس از تقسیم میوز تراودهای مگاسپور آرایش خطی یا غیرخطی دارند. تکوین کیسه رویانی از طرح تک‌اسپوری و تیپ پلی‌گونوم پیروی می‌کند، در حالی که وجود تپ آلیوم نیز در این تیره رایج است. یاخته‌های آنتی پود برخلاف تیپ متداول پلی‌گونوم شدیداً پلی‌بلوئید و نیز پایا هستند، اما تک‌هسته‌ای باقی می‌مانند و با فشار پوستامنت به وسط کیسه رویانی پیش‌روی می‌کنند. تحلیل آنها با تأخیر قابل توجه و در مرحله آندوسپرم سلولی صورت می‌گیرد.

واژه‌های کلیدی. آنتی‌پود، تیره آلاله‌ایان، *Consolida orientalis*، مگاگامتوفیت

Developmental stages of ovule and embryo sac in *Consolida orientalis* Schrödinger (Ranunculaceae)

Abdolkarim Chehregani Rad*, Fariba Mohsenzadeh and Soulmaز Ekhtari

Received 30.01.2014/ Accepted 20.02.2015

Department of Biology, Bu-Ali Sina University, Hamedan, Iran

*Correspondent author: chehregani@basu.ac.ir

Abstract. Although there is extensive literature on different aspects of floral structure and embryology in Ranunculaceae, the distribution of developmental studies on the family is inharmonic. Studies on some genera are extensive, but others have been less extensively investigated or some may have remained unstudied. This research is an attempt to study the developmental stages of ovule in *Consolida orientalis*. The flowers and buds in different developmental stages were sectioned at 7-10 µm with a microtome. Staining was performed with hematoxylin and eusine. The sections were studied by means of a light microscope. Results indicated that ovules are anatropous, bitegmic and crassinucellate. The megasporangium tetrads are linear or nonlinear. The development of embryo sac belongs to the *Polygonum* type, but the presence of *Allium* type was also abundant in other species of this family. On the contrary to the common *Polygonum* type, the antipodal cells are large, persistent, and highly polyploid and remain uninucleate. They penetrate the embryo sac under the pressure provided by postament degenerate in the cellular stage of endosperm.

Keywords. antipodals, *Consolida orientalis*, megagametophyte, Ranunculaceae

مقدمه

تغذیه‌ای آنها را پیشنهاد می‌کند (Raghavan, 1997). وقوع آندوپلوبیئیدی در اعضای این خانواده بسیار شانحص است (Turala-Szybowska *et al.*, 1981; Turala-Szybowska & Wolanska, 1989)

هدف این مقاله مطالعه مراحل تکوین تخمک و کیسه رویانی در گونه *C. orientalis* به منظور توسعه دانش رویانشناسی این تیره است. براساس مطالعات مرجع شناختی ما این جنس و گونه از نظر تکوینی تحت مطالعه قرار نگرفته است. بعلاوه، آشکار-ساختن خصوصیات تکوینی تخمک و گام‌وفیت ماده سبب فهم بهتری از مسائل آرایه‌شنختی تیره آلاله می‌شود.

مواد و روش‌ها

گل‌ها و جوانه‌های گونه تحت مطالعه در اوایل تابستان از زیستگاه‌های طبیعی در اطراف شهر همدان جمع‌آوری شد. گل‌ها و غنچه‌ها در مراحل مختلف تکوین جهت ثبت در قرار داده (Formalin, Acetic acid, Ethanol) FAA₇₀ شد، سپس ذخیره‌سازی در الکل ۷۰ درصد صورت گرفت. پس از قالب‌گیری، برش‌گیری نمونه‌ها در قالب‌های پارافین با میکروتوم (Microm DC, Dideh Sabz, Iran) با ضخامت ۷-۱۰ µm صورت گرفت (Xue & Li, 2005). رنگ‌آمیزی برش‌های تهیه شده پس از پارافین‌زدایی و آبدهی با روش رنگ-آمیزی مضاعف هسته و سیتوپلاسم توسط هماتوکسیلین و ائوزین صورت گرفت (Yeung, 1984). نمونه‌ها با میکروسکوپ نوری Zeiss Axiostar Plus (Germany) بررسی شد و عکس‌برداری به کمک دوربین دیجیتال مدل Canon G₁₁ (Japan) انجام گرفت.

نتایج

تشکیل مادگی و تخمک

تخمک‌ها به صورت برجستگی‌های کوچک کم‌ویش کروی تا بیضی‌شکل در جدار تخمندان پدیدار می‌شود (شکل ۱A). تخمندان از نوع فوکانی و دوخانه‌ای است و هر حفره دو ردیف تخمکی دارد (شکل ۱B). برجه شامل تعداد زیادی تخمک است. تخمک‌ها در تخمندان به طور واژگون و آویخته در دو

در راسته آلاله‌سانان (Ranunculales) تیره آلاله‌ایان موقعیت فیلورنیک برجسته‌ای داشته و به نظر می‌رسد پایه و اساس یودایکت‌ها باشد. این تیره یک تیره بزرگ با پراکنش جهانی است (Soltis *et al.*, 2005; Simpson, 2006; Heywood *et al.*, 2007). این تیره تنوع وسیعی در ویژگی‌های ریخت‌شناختی دلیل طبقه‌بندی‌های متعددی براساس ویژگی‌های ریخت‌شناختی (Hutchinson, 1923; Janchen, 1949; Tamura, 1995; Jensen *et al.*, 1995) و ترکیبی از ویژگی‌های ریخت‌شناختی و ملکولی (al., 1997) انجام شده است (Wang *et al.*, 2005). این تیره به کوشش Tamura (1995) به سه زیر تیره و یا زده طایفه تقسیم شده است. این تقسیم‌بندی براساس عدد کروموزومی، برجه و نوع میوه انجام شده است اما در این مورد هنوز اتفاق نظر وجود ندارد.

گیاهان تیره آلاله‌ایان شامل ویژگی‌های متعدد ابتدایی و پیشرفته ریخت‌شناختی و رویان‌شنختی است: گل‌های منظم یا نامنظم دو یا تک جنسی، برجه‌های آزاد یا پیوسته، فولیکول‌های چندبرچه‌ای یا فندقه‌های تک‌برچه‌ای، تخمک‌های کم یا پرخورش تک یا دوپوسته‌ای، تکوین کیسه رویانی از نوع Polygonum یا Allium و آنتی‌پدهای پایدار یا ناپایدار از آن جمله است، اما از یک گونه به گونه دیگر تنوع قابل توجهی در ویژگی‌های فوق وجود دارد (Vijayaraghavan & Bhandari, 1970; Johri *et al.*, 1992). وجود پلی‌پلوبیئیدی مکرراً در انواع سلول‌های کیسه رویانی نظری آنتی‌پودها، سینرژیدها، آندوسپرم و سوسپانسور گزارش شده است (Kozieradzka-Kiszkuorno & Bohdanowicz, 2003; Greilhuber *et al.*, 2005, Ghahremaninejad *et al.*, 2013).

وجود پلی‌پلوبیئیدی مکرراً در انواع سلول‌های کیسه رویانی نظری آنتی‌پودها، سینرژیدها، آندوسپرم و سوسپانسور گزارش شده است (Kozieradzka-Kiszkuorno & Bohdanowicz, 2003; Greilhuber *et al.*, 2005; Ghahremaninejad *et al.*, 2013) و ارتباط آشکاری بین درجه پلی‌پلوبیئیدی این سلول‌ها و طول مدت زمان زندگی آنها وجود دارد که نقش

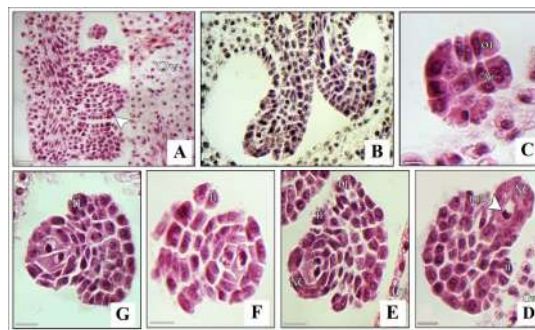
دو هسته هاپلولید (شکل E) و پس از سیتوکینز دو سلول دیاد هاپلولید می شود (شکل F). در نمونه لامهای تهیه شده از مراحل توکین تخمک در این گیاه هم دیاد طولی (شکل F) و هم دیاد عرضی مشاهده شد (شکل G). دو مین تقسیم میوزی موجب تشکیل چهار سلول تتراد می شود. انواع تترادها را در این نمونه می توان مشاهده کرد. از جمله نوع خطی طولی، خطی عرضی (۴ سلول کنار هم)، T شکل و چهار وجهی (شکل های ۲A-۲D). از چهار سلول حاصل از میوز، سه سلول تحلیل می روند و فقط یک سلول (مگاسپور عملکردی) باقی می ماند. در این نمونه، موقعیت سلول باقیمانده یا مگاسپور عملکردی سفتی (میکروپیل) است.

در *C.orientalis* وقتی میوز با تشکیل تتراد به پایان می رسد، پوسته تخمک حدوداً ۳/۴ جسم تخمک را می پوشاند (شکل ۳A). مگاسپور عملکردی سه تقسیم میتوzی متوالی انجام می دهد و درنهایت کیسه رویانی هشت هسته ای و هفت سلولی را به وجود می آورد. طی تشکیل کیسه رویانی ساختارهای هیپوستاز و پوستامنت شکل می گیرند (شکل ۴A). سه سلول در قطب مجاور سفت استقرار می یابند و دستگاه تخمزا را به وجود می آورند. دستگاه تخمزا شامل یک سلول تخمزا بزرگ و گلابی شکل است و به واسطه داشتن یک هسته درشت و یک واکوئل بزرگ قابل تشخیص است، و دو سلول کناری آن "سینرژیدها" است. در قطب بنی، سلول های آنتی بود به وجود می آید که آنها نیز آرایشی مثنی شکل دارند. در نمونه مورد بررسی این سلول ها غول پیکر بوده، از قدرت رنگ پذیری بالایی برخوردارند و به سمت مرکز کیسه رویانی مهاجرت می کنند. سلول های آنتی پودی روی پوستامنت واقع شده اند. پوستامنت بر جسته می شود و آنتی پودها را به طرف مرکز کیسه رویانی می راند.

ستون قرار دارد. جایگزینی تخمک ها در تخدمان از نوع جداری است. پریموردیوم تخمک دارای ۴-۷ ردیف سلولی است (شکل ۱A). در *C.orientalis* چندین سلول آرکنوسپوری وجود دارد (شکل ۱C) و تنها یکی از این سلول ها به طور مستقیم به مگاسپوروسیت تمایز می یابد. سلول مادر مگاسپور در نمونه تحت مطالعه، در لایه چهارم است (شکل ۱D). پریموردیوم تخمک خمیدگی را از همان مراحل اولیه آغاز می کند. هنگامی که پریموردیوم تخمکی کشیده می شود، در بخش میانی آن ابتدا پوسته خارجی بنیان گذاری می شود (شکل ۱F). بعد از مدتی، با توسعه پوسته خارجی، پوسته درونی در بخش درونی پوسته خارجی تشکیل می شود (شکل ۱E). در نمونه مورد مطالعه، تخمک از نوع دوپوششی، پرخورش و واژگون است (شکل ۳B). میکروپیل بوسیله پوسته داخلی که متشکل از ۲ لایه است شکل می گیرد و از نوع خطی صاف است (شکل های ۴B و ۴A). پوسته خارجی ضخیم و متشکل از ۴ تا ۵ لایه سلولی است. از درونی ترین لایه پوسته درونی، لایه اندوتلیوم تشکیل می شود. سلول های این لایه به صورت شعاعی امتداد یافته و دارای هسته کاملاً واضح و سیتوپلاسمی متراکم هستند (شکل های ۴B و ۴A). در *C. orientalis* تشکیل مادگی پس از پرچم ها صورت می گیرد. مادگی تک برجه و دارای پایک و کرک است (شکل های ۴F و ۴G).

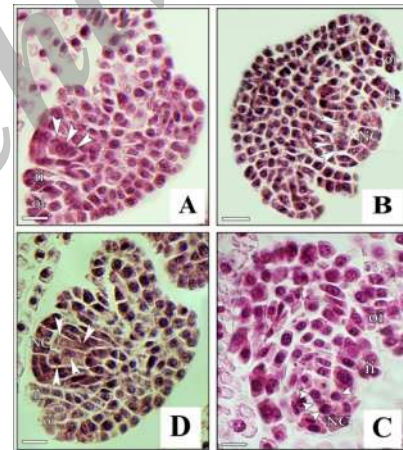
مگاسپورزادی و نمو گامتوفیت ماده

سلول مادر مگاسپور را چندین لایه از سلول های خورش احاطه می کنند، بنابراین تخمک از نوع پرخورش است. سلول مادر مگاسپور از نظر اندازه رشد می کند و با حجم زیاد، هسته درشت، سیتوپلاسم متراکم و شکل چندوجهی خود از سایر سلول های خورش قابل تشخیص است (شکل ۱D). حضور کلاهک خورشی از این مرحله دیده می شود که بین دو تا چهار لایه است. مگاسپوروسیت با انجام میوز مگاسپورها را تشکیل می دهد که ضمن رشد گامتوفیت ماده یا کیسه رویانی را تولید می کنند. اولین تقسیم میوز مگاسپوروسیت، موجب تشکیل



شکل ۱- مراحل اولیه تکوین تخمک و تشکیل مگاسپوروسیت در سطح شکمی دیواره تخمدان (*Ov*) (Ov) تشکیل می-شوند و خمیدگی را از همان مراحل اولیه آغاز می‌کنند. بنیان‌گذاری پوسته (▲) نیز در همین زمان رخ می‌دهد؛ (B) تخمک‌ها در دو ردیف در داخل برچه مستقر هستند؛ (C) چندین سلول آرکتوسپوری در رأس خورش وجود دارد؛ (D) یکی از سلول‌های آرکتوسپور به عنوان مگاسپوروسیت (mmc) عمل می‌کند، مگاسپوروسیت در لایه چهارم است. شکل‌گیری کلاهک خورش (NC) (در این مرحله مشهود است. پوسته داخلی (ii) (ii) تخمک در این شکل و شکل‌های بعدی دیده می‌شود؛ (E) با تقسیم سلول مگاسپوروسیت دو سلول دیاد هاپلوبیوت شکل می‌گیرد. در این شکل دیاد بدون سیتوکینز دیده می‌شود؛ (F) دیاد خطی طولی؛ (G) دیاد خطی عرضی. شاخص $20\text{ }\mu\text{m}$ است.

Fig. 1. Early stages of ovule development and megasporocyte formation in *C.orientalis*. A) Ovular primordia are firmed on abaxial side of ovary wall (Ov) and begin to curve at the early stages. Initiation of integuments (▲) starts simultaneously; B) Ovules are located in two rows; C) Several archesporial cells are formed at the top of nucellus; D) One of the archesporial cells acts as a megasporocyte (mmc) which is situated in the fourth layer. Formation of the nucellar cap (NC) is visible at this stage. Inner integument of ovule (ii) is visible in this figure and later ones; E) Division of megasporocyte results in the formation of two haploid cells. Dyad formation is not accompanied by cytokinesis; F) Linear dyad; G) Horizontal dyad. Scale bar equals $20\text{ }\mu\text{m}$.



شکل ۲- تشکیل تراد در طی مگاسپوروزن در *C.orientalis*. لایه‌های کلاهک خورشی افزایش یافته و پوسته‌ها حداکثر $\frac{3}{4}$ جسم تخمک می‌رسند. انواع تراد به شرح زیر در نمونه تحت بررسی دیده شد: تراد خطی طولی(A)، تراد خطی عرضی (B)، تراد T شکل (C) و ترادها از نوع تراهدرال (D) مشاهده شد. شاخص $20\text{ }\mu\text{m}$ است.

Fig. 2. Tetrad formation during megasporogenesis in *C.orientalis*. The layers of nucellar cap increased and integuments approaches $\frac{3}{4}$ ovular body. Various tetrads are observed in this species including linear (A), horizontal (B), T-shaped (C) and tetrahedral tetrads (D). Scale bar equals $20\text{ }\mu\text{m}$.

بحث

در تیره آلاله ایان توالی بنیان گذاری مارپیچی اندام‌های گل یک الگو است (Ren *et al.*, 2009) و یک سطح سیستماتیکی پایین را نشان می‌دهد (Endress *et al.*, 1995). در بازال آژیوپریم‌ها تخمک‌های پرخورش غالب هستند (Ren *et al.*, 2004) و تیره آلاله در بین تاکسون‌های ابتدایی دولپه‌ای، حجمی‌ترین خورش را دارد. وضعیت دوپوسته‌ای و میکروپیل آندوستومیک ویژگی‌های ابتدایی هستند و میکروپیل bistomic و تخمک تک‌پوسته‌ای ویژگی‌های اشتراق‌یافته هستند (Wang & Ren, 2007). در نمونه تحت مطالعه تخمک دوپوسته‌ای است و ابتدا پوسته درونی و سپس پوسته بیرونی بنیان گذاری می‌شود. به علاوه، پوسته بیرونی از رشد زیادی برخوردار است و تعداد لایه‌های آن بیش از دو عدد است، در حالی که پوسته درونی دولایه است. در پوسته‌های چند‌لایه‌ای، اپیدرم و پارانشیم دیده می‌شود (رضانژاد و چهرگانی، ۱۳۸۷).

در تشکیل میکروپیل فقط پوسته درونی دخالت دارد. به عبارتی؛ میکروپیل آندوستومیک است که نوعی ویژگی ابتدایی محسوب می‌شود. در تیره آلاله تقسیمات مماسی سلول‌های اپیدرمی به تشکیل کلاهک خورشی منجر می‌شود. درجه نمو کلاهک، یک ویژگی مخصوص گونه است. کلاهک خورشی در C.orientalis دو تا چهار لایه است. در خانواده آلاله کلاهک خورشی می‌تواند موجب تشکیل اپیستاز شود که بافتی با دیواره سلولی ضخیم است و در دانه‌های نیز بالغ پایدار می‌ماند (Ren *et al.*, 2009). ساختارهای هیپوستاز و پوستامنت در گونه C.orientalis مشاهده شد. درواقع در تخمک‌های پرخورش، سلول‌های بخش نزدیک (به سلول‌های آرکئوسپوری) به پوستامنت، سلول‌های ناحیه دور به دسته آوندی و سلول‌های ناحیه میانی (منطقه مرکزی) به پودیوم و هیپوستاز نمو می‌یابند. همه این ساختارها درحالی که عملکردهای مشابهی انجام می‌دهند از نظر الگوی تشکیل متفاوت هستند. پوستامنت بافتی با خاستگاه خورشی است که به صورت یک ستون از سلول‌های طویل مستقر در بخش زیرین انتهای آنتی‌پودی کیسه‌رویانی قرار گرفته است. سلول‌های پوستامنت از سلول‌های اطراف به-

سلول‌های آنتی‌پود، بزرگ‌ترین سلول‌های کیسه‌رویانی هستند. سیتوپلاسم آنها متراکم است و هسته کروی یا یضی شکل دارند. شمار این سلول‌ها و تعداد هسته آنها طی تکوین افزایش نمی‌یابد اما به طورقابل ملاحظه‌ای بزرگ‌می‌شوند و دارای هسته حجمی هستند که نمایانگر وجود پلی‌پلولوئیدی در آنها است. یک یا دو عدد از سلول‌های آنتی‌پودی بعد از لقاح همچنان حضور دارند و درواقع پایا هستند. توسعه آنتی‌پودها همراه با واکوئل‌سازی در سیتوپلاسم و افزایش در ابعاد هسته و هستک است (شکل‌های ۳C-۴E).

هسته‌های قطبی در کیسه‌رویانی در رأس سلول‌های آنتی‌پودی قرار گرفته (شکل ۳E) و بهزودی به هم ملحق می‌شوند تا هسته ثانویه و سلول مرکزی (شکل ۴A) را تشکیل دهند. سلول مرکزی "هسته ثانویه" ارتباطات سیتوپلاسمی با آنتی‌پودها برقرار می‌کند، در واقع این ارتباطات سیتوپلاسمی بین کلیه سلول‌های کیسه‌رویانی برقرار است. سپس سلول مرکزی مهاجرت می‌کند و در زیر دستگاه تخمز قرار می‌گیرد. در C.orientalis هسته ثانویه قبل از لقاح تشکیل می‌شود. به دنبال ورود لوله گردده به تخمک (شکل ۴B) و انجام لقاح مضاعف، سلول تخم و سلول مادر آندوسپریم تشکیل می‌شود. زیگوت نسبت به سلول تخمز متراکم‌تر است (شکل ۴C). یک یا دو عدد از آنتی‌پودهای پلی‌پلولوئید بعد از لقاح تا مدتی پایا می‌مانند (شکل‌های ۴E و ۴C) و احتمالاً در مرحله آندوسپریم سلولی تحلیل می‌روند. با اولین تقسیم سلول تخم، سلول رأسی و قاعده‌ای شکل می‌گیرد (شکل ۴E). ادامه تقسیمات، رویان را ایجاد می‌کند (شکل ۴D). با تشکیل کیسه‌رویانی و سلول‌هایی که قابلیت لقاح را دارند، یعنی تخمز (هاپلولوئید) و هسته‌دوتایی (دیپلولوئید)، تکوین تخمک به پایان می‌رسد. طی بلوغ کیسه‌رویانی کلاهک خورشی تحلیل می‌رود. در این گونه تکوین کیسه‌رویانی از تیپ پلی‌گونوم پیروی می‌کند. کیسه‌رویانی در طی بلوغ گلابی‌شکل شده و بسیار عریض می‌گردد (شکل‌های ۳C-۴E). در C.orientalis دستجات آوندی در خورش و پوسته‌ها مشاهده شد (شکل ۳B).

سلول‌های آنتی‌پود را به مرکز کیسه رویانی می‌راند و ورود لوله گرده در حالی صورت می‌گیرد که آنتی‌پودها کاملاً به وسط کیسه رویانی پیش‌روی کرده‌اند. طول عمر آنتی‌پودها در گیاهان مختلف متفاوت است و با تکوین عملکرد ساختارهای خورشی دیگر در ارتباط است. در بین سلول‌های کیسرویانی میزان پایداری آنتی‌پودها بیشترین تنوع را نشان می‌دهد. به طور بسیار رایج آنها مدت کوتاهی پس از لقاح تحلیل می‌روند، اما می‌توانند تا مدت طولانی حتی بعد از لقاح نیز باقی بمانند (Hasitschka-Jenschke, 1962; Ünal *et al.*, 1997). در این خانواده با توجه به اندازه گیری ابعاد هسته وجود سلول‌های آنتی‌پود و وجود تیپ‌های متنوعی از پلی‌پلوئیدی در سلول‌های آنتی‌پود گزارش شده است. پدیده پلی‌پلوئیدی ممکن است در نتیجه اختلال در میتوز باشد؛ برای مثال در برخی از گونه‌های (Hasitschka-Jenschke, 1959; Trella, *Anemon* 1963؛ Ünal, 1978) (Turala-Szybowska, 1980) *Ranunculus peltatus* (Tschermak-Woess, 1956) *Aconitum* پدیده درون‌همانندسازی در ۴ گونه از گیاهان تیره آلاله مانند (Tschermak-Woess, 1956) *Aconitum* (Hasitschka-Jenschke, 1959) *Helleborus niger* و (Turala-Szybowska, 1980) *Ranunculus peltatus* (Wedzony, 1982) *R. baudotii* گزارش شده است. در گونه *C. orientalis* آنتی‌پودها از نظر اندازه دارند و در واقع درجه پلوئیدی یکسانی دارند. توسعه این سلول‌ها در نتیجه ایجاد واکوئل در سیتوپلاسم آنها و نیز افزایش ابعاد هسته‌ها و هستک‌های آنهاست. در *C. regalis* درنتیجه درون‌همانندسازی آنتی‌پودها رشد طولانی مدت را نشان می‌دهند (Unal & Vardar, 2006).

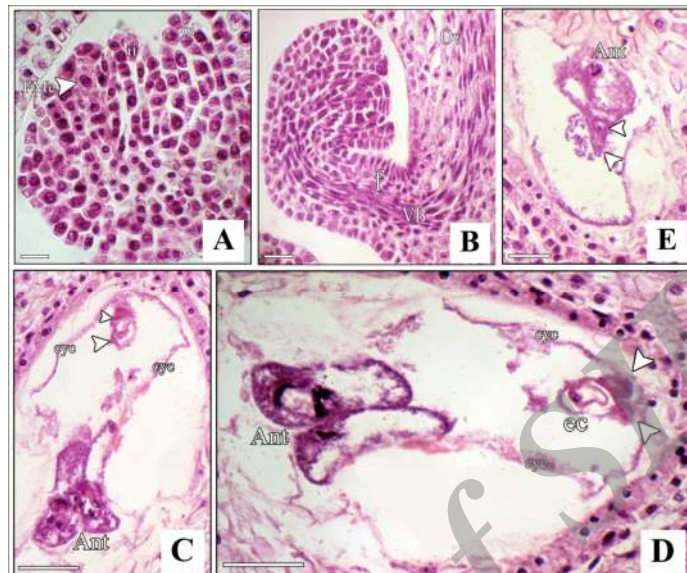
در نمونه تحت مطالعه تعدادی از آنتی‌پودها تا مدتی پس از لقاح پایا می‌مانند. طبق گزارش‌ها در *C. regalis* آنتی‌پودهای پایا بیشترین تغییرات را به نمایش گذاشتند. حضور دستجات آوندی در پوسته‌ها یک ویژگی ابتدایی است (Öztürk & Ünal, 2003). این دستجات همان تراکثیدها هستند. در نمونه تحت مطالعه دستجات آوندی به خوبی در پوسته‌های تخمک قابل روئیت است.

وسیله سیتوپلاسم متراکم‌تر و دیواره‌های رنگ پذیرتر قابل تشخیص هستند. پوستامنت در تیره آلاله از لایه‌های محدودی تشکیل شده است و به سمت هیپوستاز توسعه یافته است و از نظر ساختاری با سلول‌های پروکامبیومی قابل مقایسه است (Joshi & Venkateswarlu, 1935; Mück, 1980; Kamelina & Proskurina, 1987a,b; Alimova, 1990; Shamrov & Nikiticheva, 1992)

وجود چندین آركتوسپو، از ویژگی‌های تیره آلاله و به طور کلی از خصوصیات تخمک‌های با خورش حجمی و چندلایه‌ای است. اما فقط یکی از آنها به سلول مادر مگاسپور (mmc) تمایز می‌یابد. مگاسپوروزنر با الگوی رایج در نهان‌دانگان دولپه انجام می‌شود. مطالعه روند مگاسپوروزنر نشان می‌دهد که شکل تراودها در این تیره تنوع بسیار زیادی دارد که با گزارش‌های پیشین (Kozieradzka-Kiszkurno & Bohdanowicz, 2003)

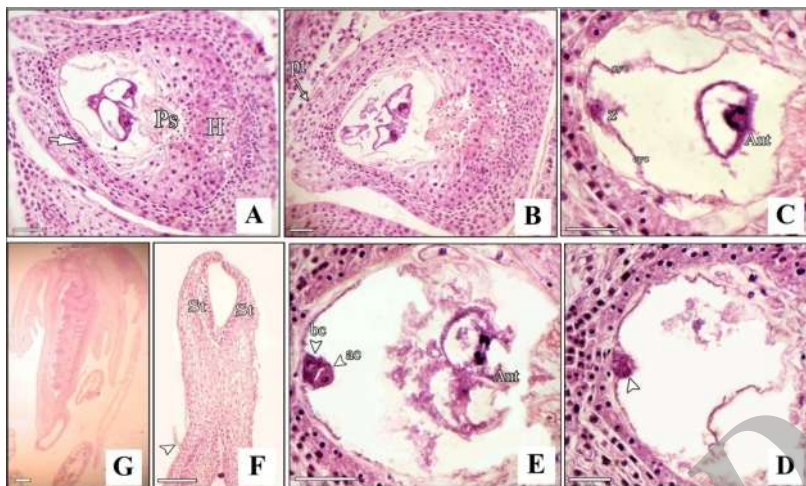
در *C. orientalis* مگاسپور پس از تشکیل به کیسه رویانی نمو می‌کند و الگوی تکوین کیسه رویانی از تیپ پلی‌گونوم پیروی می‌کند که تیپ رایج در اکثر نهان‌دانگان است (Kordyum, 1959). انواع دیگر تکوین کیسه رویانی در این تیره گزارش شده است. *Adonis* تکوین از نوع *Allium* را نشان داده است (*Trollius*). (Uluc & Ünal, 1962; Bhandari, 1996) *T. europeus acaulis* Lindl. تیپ دو اسپوری و در *T. europeus* var. *flavum* (Bhandari & Kaplin, 1964) در حالی که در *Thalictrum angustifolium* L. var. *flavum* کیسه رویانی تتراسپوری ۱۶ هسته‌ای منطبق بر تیپ *ethrumPyr* گزارش شده است (Picci, 1964)، اما در *T. javanicum* Grun. مونواسپوری ۸ هسته‌ای و تیپ پلی‌گونوم است که با گزارش ما درباره *C. orientalis* همسوی دارد.

براساس نتایج، در *C. orientalis* سلول‌های آنتی‌پود در رأس پوستامنت قرار می‌گیرند که با گزارش‌های در *C. regalis* L. (Unal & Vardar, 2006) همسوی دارد. در دو گونه اخیر همانند دیگر تخمک‌های پرخورش، سلول‌های ناحیه پروکسیمال به پوستامنت نموده باید که نشان ویژه ساختاری تیره آلاله است (Batygina & Shamrov, 1999).



شکل ۳- تکوین تخمک و گامتوفیت ماده در *C. orientalis*. (A) سلول مگاپور عملکردی (FMe) در برش طولی تخمک؛ (B) چرخش طولی تخمک و معکوس شدن آن و ورود دستجات آوندی به تخمک نمایان است؛ (C) یاخته تخمزای واکوئله (▲ بزرگتر) و یکی از یاخته‌های سینزید (▲ کوچک‌تر) در قطب سفتي، یاخته‌های آنتی پود (Ant) غول پیکر در قطب شالازى و ارتباطات سیتوپلاسمی (cyc) بين یاخته‌ها دیده می‌شود؛ (D) دستگاه تخمزا با آرایش مثلثی شامل سلول تخمزای (ec) واکوئله و دو سلول سینزید (▲)؛ (E) هسته‌های قطبی (▲) در مرکز کیسه‌رویانی در حال تزدیک شدن به یکدیگر هستند. شاخص ۲۰ μm است.

Fig. 3. Ovule and megagametophyte development in *C. orientalis*. A) Functional megasporangium (FMe) in longitudinal section; B) Rotation and inversion of ovule and entrance of vascular bundle; C) Vacuolated oosphere cell (large ▲) and one of the synergid cells (small ▲) at the micropylar pole. Giant antipodal cells (Ant) at the chalazal pole (note the cytoplasmic connections (cyc) between the cells); D) Ovarian apparatus with triangle arrangement of an egg cell (ec) and two synergids (▲); E) Polar nuclei (▲) are joining together at the center of embryo sac. Scale bar equals 20 μm .



شکل ۴- تکوین گامتوفیت ماده و لقاح در *C. orientalis*. (A) برش طولی از کیسرویانی بالغ گلابی شکل. شکل گیری میکرопیل توسط پوسته داخلی مشهود است. لایه اندوتیال (↑) در سرتاسر کیسرویانی امتداد یافته است؛ ساختارهای هیپوستاز (H) و پوستامنت (Ps) نیز دیده می‌شوند؛ (B) کیسرویانی گلابی شکل، به وضوح دیده می‌شود که تنها پوسته داخلی در شکل گیری میکرопیل دخالت دارد. در حالی که آنتیپودها در مرکز کیسرویانی قرار گرفته‌اند، لوله گرد (pt) در حال ورود به کیسرویانی است؛ (C) تشکیل سلول تخم (Z) به همراه زوائد سیتوپلاسمی (cyc)، یکی از یاخته‌های آنتیپود (Ant) دیده می‌شود به عبارتی آنتیپودها پایا هستند و بعد از لقاح مضاعف همچنان پابرجا می‌مانند و سپس تحلیل می‌روند؛ (D) پیش رویان (▲) و قاعده‌ای (ac) سلول‌های راسی (E) پیش رویان و حرکت آنتیپودها به وسط کیسرویانی دیده می‌شود؛ (F) نمای نزدیکی از کلاله (St) حضور کرک تک‌سلولی بلندی (▲) بر دیواره خارجی تخمدان؛ (G) تخمدان همراه با تخمک‌ها، کلاله و بساک‌ها. شاخص ۲۰ μm است.

Fig. 4. Female gametophyte development in *C. orientalis*. A) Longitudinal section of pear-shaped embryo sac. Note the formation of micropyle by inner integument. Endothelial layer (↑) is stretched along the whole embryo sac. Pay attention to hypostase (H) and posthament (Ps); B) Pear-shaped embryo sac. Inner integument is involved in the formation of micropyle. Pollen tube (pt) enters the embryo sac when antipodal cells are located at its center; C) Formation of zygote (Z) together with cytoplasmic inclusions (cyc). Antipodal cells are permanent and remain after double fertilization and then degenerate; E) Apical cell (ac) and basal cell (bc) of proembryo and movement of antipodal cells toward the center of embryo sac; F) Close view of stigma (st) with presence of one-celled trichomes (▲) on the outer surface of ovary; G) Ovary showing ovules and stigma. Anthers are also visible. Scale bar equals 20 μm .

منابع/References

رضانزاد، ف. و چهرگانی، ع. ۱۳۸۷. – رویان‌شناسی گیاهان گل‌دار (ترجمه. جلد ۱ و ۲). مؤلف: تی.بی.باتی گینا. انتشارات دانشگاه باهنر کرمان.

Alimova, G.K. 1990. – Family Alstroemeriaceae, In T.B. Batygina and M.S. Yakovlev. (eds). Comparative Embryology of Flowering Plants. Butomaceae-Lemnaceae. Nauka, Leningrad, Russia. 74-76.

Batygina, T.B. and Shamrov, I.I. 1999. New approach to interpreting the ovular basic structures. – Phytomorphology 49: 223-231.

Bhandari, N.N. 1962. Studies in the family Ranunculaceae III. Development of the female gametophyte in *Adonis annua* L. – Phytomorphology 12: 70-74.

Bhandari, N.N. 1963. Studies in the family Ranunculaceae V. The female gametophyte of *Adonis aestivalis* L. A reinvestigation. – Phytomorphology 13: 317-320.

Bhandari, N.N. and Kaplin, R.N. 1964. Studies in the family Ranunculaceae VII. Two types of embryo sacs in *Trollius*, Linn. – Beitrage Zur Biologie Pflanzen 40: 113-120.

Endress, P.K. 1995. Floral structure and evolution in *Ranunculanae*. – Plant Systematic and Evolution, Suppl. 9: 47-61.

Ghahremaninejad F., Nejad Falatoury, A., Mahmoodi, M., Fereidounfar, S. and Hoseini, E. 2013. – Plant chromosome book of Iran. Biology Home Press, Tehran, Iran.

Greilhuber, J., Dolezel, J., Lysak, M.A. and Bennett, M.D. 2005. The origin, evolution and proposed stabilization of the terms 'genome size' and 'C-value' to describe nuclear DNA contents. – Annals of Botany 95: 255-260.

Hasitschka-Janschke, G. 1959. Vergleichende karyologische Untersuchungen an Antipoden. – Chromosoma 15: 229-267.

Jensen, U., Hoot, S.B., Johansson, J.T. and Kosuge, K. 1995. Systematics and phylogeny of

the Ranunculaceae – a revised family concept on the basis of molecular data. – Plant Systematics and Evolution 9: 273-280.

Johri, B.M. Ambegaokar, K.B. and Srivastava, P.S. 1992. – Comparative embryology of angiosperms. Berlin: Springer-Verlag. Vols. 1 and 2.

Joshi, A.C. and Venkateswarlu, J. 1935. Embryological studies in the Lythraceae. I. – *Lawsonia inermis*. Proc. Indian Acad. Science. Section B, Biological Sciences (Bangalore, India) 2: 481-493.

Kamelina, O.P. and Proskurina, O.B. 1987. – Family Elaeagnaceae, In T.B. Batygina and M.S. Yakovlev (eds.). Comparative of Flowering Plant Davidiaceae-Asteraceae. Nauka, Leningrad, Russia 105-110.

Kamelina, O.P. and Proskurina, O.B. 1987. Anther and pollen grain development in Elaeagnaceae family. – Bot. Zh. SSSR. 72: 909-917.

Kordyum, E.L. 1959. On the modes of reproduction of endosperm nuclei in *Nigella sativa*. – Ukrainskyi Botanichnyi Zhurnal 14: 40-46.

Kozieradzka-Kiszkuorno, M. and Bohdanwicz, J. 2003. *Sedum acre* embryogenesis: Polyploidization in the suspensor. – Acta Biologica Cracoviensia Series Botanica 45: 153-157.

Mück, M. 1980. Über den Bau und die Entwicklung der Früchte und über die Herkunft von *Acorus calamus* L. Bot. Zeitung. 66: 1-23.

Öztürk, R. and Ünal, M. 2003. Cytoembryological studies on *Paeonia peregrina* L. – Journal of Cell and Molecular Biology 2: 85-89.

Picci, V. 1964. Ricerche embriologiche sul genere *Talictrum*. Embriologia di *Thalictrum angustifolium* L. v. *flavum* L. – Giardino Botanico Hal. 71: 258-267.

Raghavan, V. 1997. – Molecular embryology of flowering plants. Cambridge University Press, Cambridge.

- Ren, Y., Chang, H.L., Tian, X.H., Song, P. and Endress, P.K.** 2009. Floral development in *Adonideae* (Ranunculaceae). – *Flora* 204: 506-517.
- Ren, Y., Li, Z.J., Chang, H.L., Lei, Y.J. and Lu, A.M.** 2004. Floral development of *Kingdonia* (Ranunculaceae, Ranunculales). – *Plant Systematic and Evolution* 247: 145-153.
- Ro, K.E., Keener, C.S. and McPherson, B.A.** 1997. Molecular phylogenetic study of the Ranunculaceae: utility of the nuclear 26S Ribosomal DNA in inferring intrafamilial relationships. – *Molecular Phylogenetics and Evolution* 8: 117-127.
- Shamrov, I.I. and Nikiticheva, Z.I.** 1992. The ovule and seed morphogenesis in *Gymnadenia conopsea* (Orchidaceae): structural and histochemical investigation. – *Bot. Zhurnal.* 77: 45-60.
- Trela, Z.** 1963. Embryological studies in *Anemone nemorosa* L. – *Acta Biologica Cracoviensia Series Botanica* 6: 1-14.
- Tschermak-Woess, E.** 1956. Notizen über die Riesenkerne und "Riesenchromosomen" in den Antipoden von *Aconitum*. – *Chromosoma* 8: 114-134.
- Turala-Szybowskak, A. and Wedzony, M.** 1981. Endopolyploidy in the antipodals of *Ranunculus* subgenus *Batrachium*. – *Acta Societatis Botanicorum Poloniae* 50: 161-164.
- Turala-Szybowskak, A. and Wolanska, J.** 1989. Two mechanisms of polyploidization of the antipodals in *Aquilegia vulgaris* L. – *Acta Biologica Cracoviensia Series Botanica* 31: 63-74.
- Turala-Szybowskak, A.** 1980. Endopolyploidy in the antipodals of *Ranunculus peltatus* Schrank. and *R. penicillatus* (Dumort.) Bab. – *Acta Biologica Cracoviensia* 22: 163-173.
- Uluc, N. and Ünal, M.** 1996. – Embryological studies in *Adonis microcarpa* DC. XIII National Biology Congress. Istanbul, Turkey.
- Ünal, M.** 1978. Cytological and embryological studies on *Anemone pavonina* Lam. – *Istanbul Universitesi Fen Fakultesi Mecmuasi*. 43: 185-208.
- Ünal, M.** 1984. Embryological studies on *Anemone coronaria*. – *Istanbul Universitesi Fen Fakultesi Mecmuasi*. 49: 89-97.
- Ünal, M. and Vardar, F.** 2006. Embryological Analysis of *Consolida Regalis* L. (Ranunculaceae). – *Acta Biologica Cracoviensia Series Botanica* 48: 27-32.
- Vijayaraghavan, M.R. and Bhandari, N.N.** 1970. Studies in the family Ranunculaceae: embryology of *Thalictrum javanicum* Bl. – *Flora* 159: 450-458.
- Wang, W., Li, R.Q. and Chen, Z.D.** 2005. Systematic position of *Asteroptyrum* (Ranunculaceae) inferred from chloroplast and nuclear sequences. – *Plant Systematics and Evolution* 255: 41-54.
- Wang, Z. and Ren, Y.** 2007. Ovule morphogenesis in Ranunculaceae and its systematic significance. – *Oxford Journals* 101: 447-464.
- Wedzony, M.** 1982. Endopolyploidy and structure of nuclei in the antipodals and synergids of *Ranunculus baudotii* Godr. – *Acta Biologica Cracoviensia Series Botanica* 24: 43-62.
- Xue, C.Y. and Li, D.Z.** 2005. Embryology of *Megacodon stylophorus* and *Veratrilla baillonii* (Gentianaceae): description and systematic implication. – *Bot. J. Linnean Society* 147: 317-331.
- Yeung, E.C.** 1984. – Histological and histochemical staining procedures. In: Vasil, IK. (ed.) *Cell culture and somatic cell genetics of plants*. Orlando, Florida: Academics Press. 689-697.